

## افزایش گرادیان اندوکتانس تفنگ ریلی با استفاده از مواد فرومغناطیس

دانشیار دانشکده مهندسی برق و کامپیوتر، دانشگاه تبریز  
دانشآموخته کارشناسی ارشد مهندسی برق، دانشگاه تبریز  
اصغر کشتکار  
علی کلانترنیا

### چکیده

یکی از روش‌های افزایش نیروی وارد بر پرتابه تفنگ ریلی افزایش گرادیان اندوکتانس می‌باشد. از جمله روش‌های افزایش گرادیان اندوکتانس می‌باشد. از جمله روش‌های افزایش گرادیان اندوکتانس استفاده از ریلهای اضافی است در این مقاله در قسمت اول بعد از توضیح مسئله و ارائه معادلات حاکم تأثیر تغییرات ابعاد ریلهای و فاصله بین آنها بر گرادیان اندوکتانس مؤثر، اندوکتانس خودی، اندوکتانس متقابل برای ریلهای با سطح مقطع مستطیلی و دایروی بررسی می‌شود. در قسمت دوم به ارائه روشی برای افزایش گرادیان اندوکتانس در تفنگ ریلی ساده و دارای ریل اضافی با استفاده از کاهش رلوکتانس مسیر شار اطراف ریل می‌برداشیم نشان داده خواهد شد که استفاده از این روش افزایش چشمگیری را در گرادیان اندوکتانس به همراه دارد.

کلمات کلیدی: تفنگ ریلی، گرادیان اندوکتانس، ریل اضافی، رلوکتانس.

## Improvement of Inductance Gradient in Railgun Using Ferromagnetic Materials

A. Keshtkar and A. Kalantarnia

Faculty of Electrical and Computer Engineering, University of Tabriz

### Abstract

Increase of inductance gradient is one of the most common methods to increase applied force to projectile. Increase of inductance gradient is reachable by using augmented rails. In the first section of this paper, after definition of problem and electromagnetic equations, effect of variation of rails dimension and distance between rails on inductance gradient, self inductance and mutual inductance for circular and rectangular rails are explored. In the second part, a new method for increase of inductance gradient in simple railgun and augmented railgun is suggested. This method uses technique that decreases reluctance of flux path and makes a noticeable increase in the gradient inductance.[1]

**Key words:** Railgun, Inductance gradient, Augmented rail, Reluctance.

## ۱- مقدمه

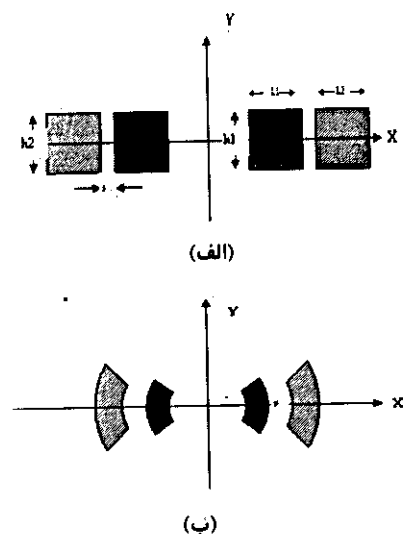
نیرویی که بر پرتابه ریلگان وارد میشود در رابطه زیر صدق میکند:

$$F_{Proj} = \frac{1}{2} L' I^2 \quad (1)$$

که  $F_{Proj}$  نیروی وارد بر پرتابه و  $I$  جریان گذرنده از ریلها و  $L'$  گردایان اندوکتانس میباشد.

همان طوری که از معادله (۱) پیداست نیروی وارد بر پرتابه تابعی از گردایان اندوکتانس و مریخ جریان است بنابراین افزایش نیرو با افزایش این دو پارامتر امکانپذیر است ولی چون افزایش جریان باعث ایجاد مشکلاتی از قبیل آرک پلاسمای افزایش تلفات گرمایی و تغییر شکل پرتابه میشود بخشی از تحقیقات بر روی روشهای افزایش  $L'$  متمرکز است [۱]

از جمله روشهای افزایش  $L'$  روش استفاده از ریلهای اضافی میباشد. این نوع ساختار در شکل (۱) نشان داده شده است.



شکل ۲- سطح مقطع ریلگان با ریل اضافی (الف): ساختار مستطیلی (ب): ساختار دایروی

انرژی مغناطیسی در واحد طول از رابطه زیر به دست میآید:

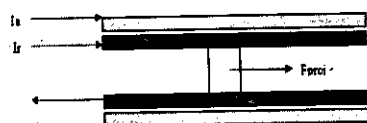
$$W_e = \iint \frac{|\vec{B}|^2}{2\mu} ds \quad (3)$$

از آنجایی که انرژی مغناطیسی در واحد طول برابر نیروی وارد بر پرتابه است، بنابراین:

$$F_{proj} = W_e = \iint \frac{|\vec{B}|^2}{2\mu} ds \quad (4)$$

از (۱) و (۴) داریم:

$$L' = \frac{2F}{I^2} \quad (5)$$

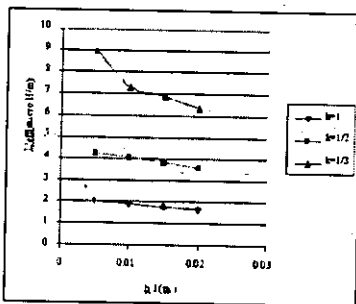


شکل ۱- ریلگان با ریلهای اضافی

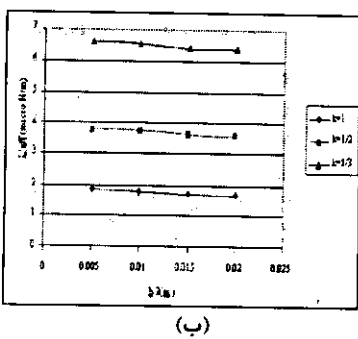
نیروی وارد بر پرتابه از رابطه زیر به دست میآید:

$$F_{Proj} = \frac{1}{2} L'_r I_r^2 + M'I_r I_a \quad (2)$$

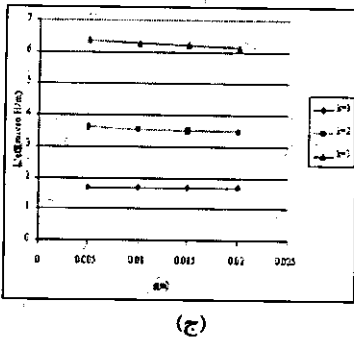
که در این رابطه  $L'_r$  گردایان اندوکتانس خودی ریلهای داخلی-  $M'$  گردایان اندوکتانس متقابل بین ریلهای داخلی و خارجی-  $I$  جریان مدار داخلی و  $I_a$  جریان در مدار خارجی است [۲]. ریلگان با ریلهای اضافی دارای ریلهایی با مقطع دایروی و مستطیلی میباشد که هر دو در شکل (۲) نشان داده شده است. در تمام قسمتهای این تحقیق نتایج به وسیله 2D-FEM محاسبه و شبیه‌سازی شده است.



(الف)



(ب)



(ج)

شکل ۳- تغییرات  $L'_{eff}$  در ساختار مستطیلی

همان طوری که از نمودارهای فوق پیداست با افزایش هر یک از مقادیر  $h_1, h_2, s$  برای یک  $K$  ثابت  $L'_{eff}$  کاهش می‌یابد. این کاهش همان طوری که از شکل (3-a) پیداست برای افزایش  $h_1$  مشهودتر است.

در شکل (4) نیز نمودار تغییرات  $L'_{eff}$  بر حسب  $s$  (فاصله بین ریلهای) برای ریلگان با مقطع دایروی دیده می‌شود در این نوع ریلگان نیز با افزایش  $s$  برای یک  $k$  ثابت مقدار  $L'_{eff}$  کاهش می‌یابد.

شکل (4) چگالی شار اطراف ریلهای را برای  $h_1 = 0.01m$  و  $h_1 = 0.015m$  نمایش می‌دهد. همان طوری که دیده شود با کاهش  $h_1$  مقدار چگالی شار افزایش می‌یابد.

مقایسه معادله نیرو در ساختار با ریل اضافی و معادله نیرو در ساختار ساده به ما امکان تعزیف گرادیان اندوکتانس مؤثر را به صورت زیر می‌دهد:

$$F_{Proj} = \frac{1}{2} L'_{eff} I_r^2 = \frac{1}{2} (L' + 2 \frac{I_a}{I_r} M') I_r^2 \quad (6)$$

$$L'_{eff} = (L' + 2 \frac{I_a}{I_r} M') = L' + 2M'K \quad (7)$$

که  $K = \frac{I_a}{I_r}$  در نظر گرفته شده است.

در عمل یک پالس جریان با دامنه بزرگ و در بازه زمانی بسیار کوچک به تنفس ریلی اعمال می‌شود. این جریان در سطح مقطع ریل دارای توزیع یکنواخت نمی‌باشد و در یک لایه نازک نزدیک به سطح هادی تحت عنوان عمق پوسی متتمرکز می‌شود. بنابراین ما می‌توانیم از پک جریان هارمونیک (سینوسی) با فرکانس بالا برای تحلیل استفاده [کنیم [۳]]

در حالت دو بعدی انرژی از رابطه زیر به دست می‌آید:

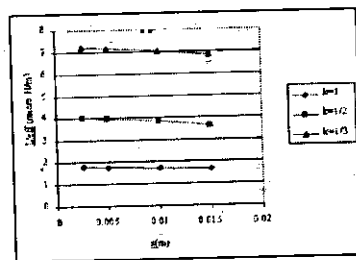
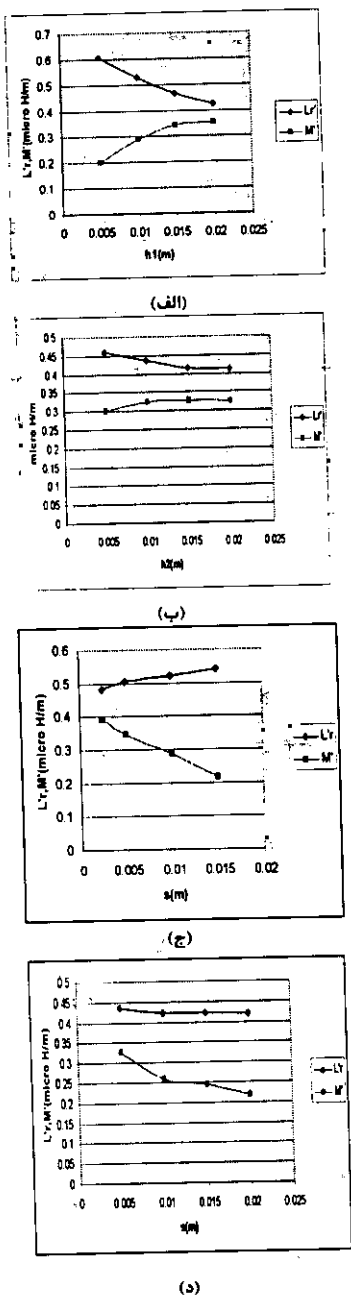
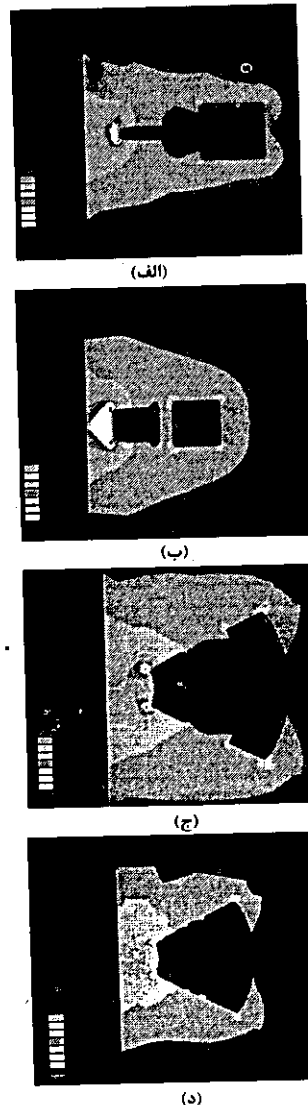
$$W_E = \frac{1}{2} L_r I_r^2 + M I_r I_a + \frac{1}{2} L_a I_a^2 \quad (8)$$

که در آن  $L_r$  اندوکتانس خودی ریل خارجی،  $L_a$  اندوکتانس خودی ریل اصلی (داخلی) و  $M$  اندوکتانس متقابل مدار داخلی و خارجی می‌باشد. با اعمال سه جریان متفاوت به ریلهای می‌توان سه معادله خطی با ضرائب  $L_r$  و  $M$  و  $L_a$  به دست می‌آورد که با حل این دستگاه معادلات مقدار  $L_r$  و  $M$  و  $L_a$  در فرکانس مذکور به دست می‌آید که  $L_r$  و  $M$  در واحد طول همان  $L_r$  و  $M'$  می‌باشد [۳]

### ۳- نتایج عددی

در این شبیه‌سازی می‌از ریلهای از جنس مس استفاده کردیم که در ساختار با سطح مقطع مستطیلی با در نظر گرفتن  $L_1 = L_2 = 2cm$  مقادیر  $h_1, h_2, s$  تغییر داده می‌شود و مقادیر  $L'_{eff}$  برای مقادیر  $K$  که در معادله (7) به دست آمده و در شکل (3) دیده می‌شود.

می شود که منجر به یک دستگاه معادلات خطی  $3 \times 3$  با ضرائب  $L_r$  و  $M$  در واحد طول می شود که از این مقادیر  $L_r$  در حالت سه بعدی برابر صفر است. آنچه در نمودارهای شکل های زیر می آید روند تغییرات پارامترهای مذکور برحسب  $h_1, h_2, s$  برای ساختار مستطیلی و برحسب  $s$  برای ساختار دایروی می باشد.

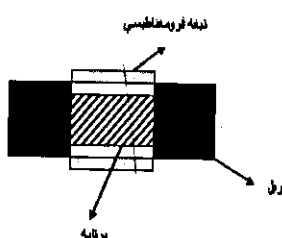
شکل ۴- تغییرات  $L_{eff}$  در ساختار دایرویشکل ۶- تغییرات  $L_r$  و  $M$ - (الف) و (ب) و (ج): ساختار مستطیلی (د): ساختار دایرویشکل ۵- چگالی شار (الف):  $h_1=0/005\text{m}$  (ب):  $S=0/050\text{m}$  (ج):  $S=0/01\text{m}$  (د):  $h_2=0/015\text{m}$ 

همان طور که در فوق بیان شد برای به دست آوردن  $L_r$  و  $M$  در روش دو بعدی به ریلها سه جریان متفاوت اعمال

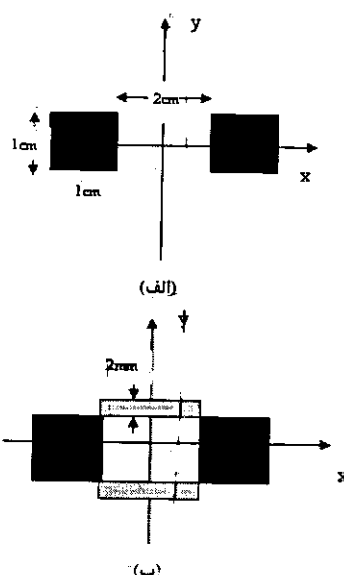
$$NI = R\varphi \quad (9)$$

در این رابطه  $\varphi$  شار و  $NI$  نیروی محرکه مغناطیسی می‌باشد. همان طوری که از رابطه فوق پیداست با کاهش  $R$  و ثابت بودن  $I$  مقدار  $\varphi$  افزایش می‌باید و بنابراین  $B$  چگالی شار نیز افزایش می‌باید. از این آیده می‌توان برای افزایش  $\varphi$  و  $B$  در نتیجه نیروی وارد بر پرتاپه تفنج ریلی استفاده کرد. ما در این تحقیق از این تکنیک استفاده کردیم و ماده فرو مغناطیسی با  $2\text{ cm}$  های (ضریب نفوذپذیری نسبی) متفاوت را به عنوان نگهدارنده به کار برداشیم. تیغه‌های بکار برده شده دارای ضخامت  $2\text{ mm}$  می‌باشد.

ساختار دو بعدی تفنج ریلی ساده و تفنج ریلی با نگهدارنده فرو مغناطیس در مقایسه با هم در شکل (۸) نشان داده شده‌اند.



شکل ۷- موقعیت ریل‌ها، تیغه‌های فرومغناطیس و پرتاپه نسبت به هم



شکل ۸- سطح مقطع تفنج ریلی (الف): ساده (ب): با تیغه فرومغناطیس

همان طوری که از منحنی‌های فوق پیداست در ساختار مستطیلی با افزایش  $L$  مقدار  $L'$  کاهش می‌باید در صورتی که در مورد  $M'$  روند برعکس می‌باشد؛ یعنی با افزایش  $h_1, h_2$  افزایش می‌باید. در ساختار دایری با افزایش  $S$  مقدار  $L$  افزایش می‌باید. در هر دو ساختار با افزایش  $S$  مقدار  $M$  کاهش می‌باید.

از رابطه (۷) پیداست که برای یک  $K$  ثابت مقدار  $L_{eff}$  به مقادیر  $M'$  و  $L'$  بستگی دارد یعنی دلیل افزایش یا کاهش  $L'_{eff}$  را باید در تغییرات  $M'$  و  $L'$  جستجو کرد. برای تغییرات فاصله بین ریلهای (افزایش  $S$ ) کاملاً واضح است که با افزایش فاصله بین دو مدار که دارای القای متقابل هستند ضریب القای متقابل کاهش می‌باید؛ پس طبیعی است که با افزایش  $S$  مقدار  $M'$  کاهش می‌باید.

در مورد  $L'$  از آنجایی که جریان ریلهای خارجی یک میدان مغناطیسی را به وجود می‌آورد که بر مدار داخلی تاثیر می‌گذارد و در آن یک جریان القایی در جهت خلاف جریان اصلی مدار داخلی ایجاد می‌کند و باعث کاهش چگالی جریان در مدار مدار خارجی بر مدار داخلی کمتر می‌شود. بنابراین چگالی جریان در مدار داخلی به میزان کمتری کاهش می‌باید بنابراین افزایش فاصله باعث افزایش  $L'$  می‌شود.

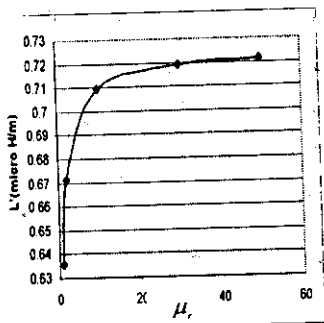
میزان کاهش  $M'$  بر حسب  $S$  از میزان افزایش  $L'$  بر حسب  $S$  بیشتر است و این موضوع از نمودارهای  $c$  و  $d$  شکل (۶) قابل مشاهده است؛ بنابراین افزایش  $S$  باعث کاهش  $L'_{eff}$  می‌شود.

از آنجایی که با افزایش  $h_1$  و  $h_2$  سطح مقطع هریک از ریلهای افزایش می‌باید، جریان القایی ناشی از هریک از ریلهای اعم از داخلی و خارجی افزایش می‌باید. این جریان القایی باعث تغییر توزیع جریان هریک از ریلهای و کاهش چگالی جریان می‌شود. نرخ کاهش  $L'$  بیشتر از افزایش  $M'$  می‌باشد. این موضوع از نمودارهای (الف) و (ب) شکل (۶) قابل مشاهده است.

#### ۴- افزایش گرادیان اندوکتانس با کاهش رلوکتانس مسیر شار

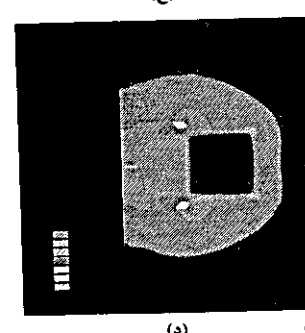
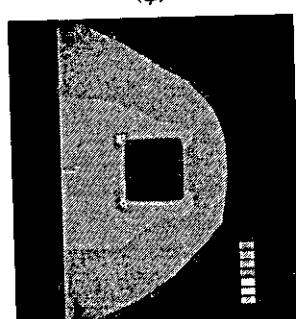
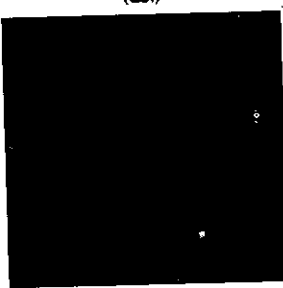
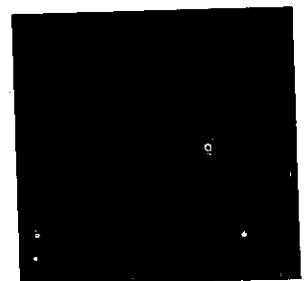
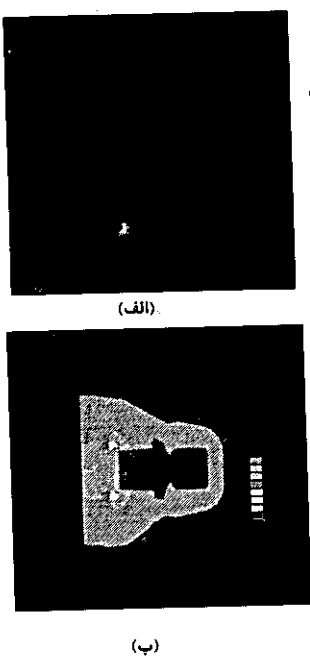
مواد فرومغناطیس به ذلیل اینکه دارای نفوذپذیری مغناطیسی بالایی می‌باشند در مسیرهای عبور شار رلوکتانس کمی ایجاد می‌کنند. در یک مدار مغناطیسی با رلوکتانس  $R$  رابطه زیر برقرار است:

برای تفنگ ریلی بدون تیغه‌های فرو مغناطیس برای ابعاد فوق  $L' = 0.6354 \mu H/m$  در حالی که با تیغه‌هایی با  $\mu_r = 4000$  مقدار  $L' = 0.725136 \mu H/m$  می‌رسد. شکل زیر تغییرات  $L'$  بر حسب  $\mu_r$  تیغه‌ها را نشان می‌دهد. در این نمودار دیده می‌شود که با زیاد شدن  $\mu_r$  به بیش از 50 مقدار  $L'$  تغییرات چندانی ندارد و تقریباً ثابت است.



شکل ۱۰- تغییرات  $L'$  در تفنگ ریلی با تیغه فرومغناطیسی بر حسب ضریب تقویت پذیری مغناطیسی

در ادامه این تکنیک برای تفنگ ریلی با ریل اضافی بررسی شده است در این ساختار مطابق شکل (۲)  $L_1 = L_2 = 0.01 cm$ ,  $s = 0.005 m$  و  $h_1 = h_2 = 2 mm$  در نظر گرفته شده است.

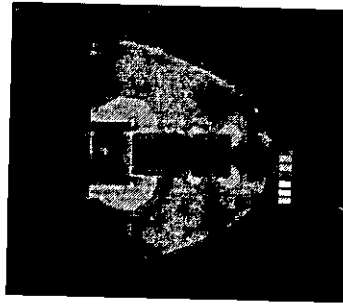


شکل ۹- (الف) و (ب): خطوط شار در اطراف ریل (ج): چگالی شار در تفنگ ریلی ساده (د): چگالی شار در تفنگ ریلی با تیغه فرومغناطیسی

نتایج به دست آمده در قسمت دوم حاکی از این است که با قرار دادن یک ماده فرومغناطیس به عنوان تیغه‌های نگهدارنده می‌توان گرادیان اندوکتانس را به مقدار قابل توجهی افزایش داد.

#### مراجع

- [1] A. kalantarnia and A. keshtkar, "Increasing of Railgun Inductance Gradient by Using Tapered I Shaped Rail", 13<sup>th</sup> EML Symposium, May 2006.
- [2] J. Gallant, "Parametric Study of Augmented Railgun", IEEE Trans. on Magnetics, vol. 39, no. 1, Jan. 2003.
- [3] A. Keshtkar, "Effect of Rail Dimension on Current Distribution and Inductance Gradient", IEEE Trans. on Magnetics, vol. 41, no. 1, Jan. 2005.
- [4] J. Gallant and P. Lehmann, "Experiments with Brush Projectiles in a Parallel Augmented Railgun", IEEE Trans. on Magnetics, vol. 41, no. 1, Jan. 2005.



(ج)

شکل ۱۱- (الف): خطوط شار در اطراف ریلها (ب): چگالی شار (ج): شدت میدان مغناطیسی H

جدول زیر مقایسه گرادیان اندوکتانس خودی و متقابل برای دو حالت با تیغه فرومغناطیس و بدون تیغه فرومغناطیس می‌باشد:

جدول ۱- مقایسه گرادیان اندوکتانس خودی و متقابل برای ریلگان با ریل اضافی با تیغه و بدون تیغه فرومغناطیس

	$I_s' (\mu H/m)$	$M' (\mu H/m)$
تفنگ ریلی با ریل اضافی بدون تیغه فرومغناطیس	۰/۶۰۱۵	۰/۴۱۰۸
تفنگ ریلی با ریل اضافی و تیغه فرومغناطیس	۰/۶۹۵۳	۰/۴۶۵۰

همان طوری که از جدول بالا پیداست استفاده از تیغه‌های فرومغناطیس در تفنگ ریلی با ریل اضافی باعث افزایش ۱۵ درصدی و ۱۰ درصدی به ترتیب در گرادیان اندوکتانس خودی و در گرادیان اندوکتانس متقابل می‌شود.

#### ۵- نتیجه گیری

ما در این تحقیق از 2D-FEM برای تحلیل تفنگ ریلی استفاده کردیم. آنچه که در این مقاله بررسی شد تأثیر تغییر ابعاد ریل‌ها و فاصله بین آنها بر گرادیان اندوکتانس موثر، خودی و متقابل در تفنگ ریلی با ریل اضافی با مقطع مستطیلی و دایروی می‌باشد. آنچه که می‌تواند مورد توجه قرار گیرد این است که در نوع مستطیلی با افزایش پارامترهای مذکور، گرادیان اندوکتانس موثر روند کاهشی دارد.